

УДК 517.958

MSC2010 35Q20 +35Q60

© Е. О. Коваленко^{1,2}; И. В. Прохоров^{1,2}

Определение коэффициента донного рассеяния при многолучевом зондировании океана

Исследована обратная задача для нестационарного уравнения переноса излучения, заключающаяся в нахождении коэффициента донного рассеяния по данным многолучевого гидролокатора бокового обзора. В приближении однократного рассеяния предложен приближенный способ нахождения коэффициента донного рассеяния. Проведен численный анализ обратной задачи для разного числа ракурсов зондирования и при различной ширине приемных антенн. Продемонстрировано влияние объемного рассеяния на качество реконструкции морского дна.

Ключевые слова: *уравнение переноса излучения, донное рассеяние, обратная задача*

1. Введение

Обратные задачи для кинетических уравнений имеют многочисленные практические приложения. Это, прежде всего, дистанционное зондирование поверхности Земли, фотометрия и гидролокация морского дна, оптическая и рентгеновская томография [1–10]. В работе рассматривается обратная задача для нестационарного уравнения переноса излучения в области с неизвестной границей, на которой заданы условия диффузного отражения по закону Ламберта. Требуется найти границу при некотором условии переопределения решения начально-краевой задачи. Такие постановки задач возникают при мониторинге земной поверхности и морского дна с помощью авиационных радиолокационных станций и гидролокаторов бокового обзора. В работе рассматривается упрощенная двумерная модель локации ламбертовской кривой. Применение такой модели оправданно для узкой в горизонтальной плоскости диаграммы направленности приемной антенны и при небольшой скорости движения источника излучения — в сравнении со скоростью распространения сигнала в среде [9].

¹ Институт прикладной математики ДВО РАН, 690041, г. Владивосток, ул. Радио, 7,

² Дальневосточный федеральный университет, 690050, г. Владивосток, ул. Суханова, 8
Электронная почта: kovalenko.eo@dvfu.ru (Е. О. Коваленко), prokhorov@iam.dvo.ru (И. В. Прохоров).

В трехмерном случае эта обратная задача рассматривалась в работах [9, 10]. Основное ограничение на поведение искомой поверхности в [9, 10] было связано с малостью отклонения отражающей поверхности от некоторого среднего уровня. При условиях, что диаграмма направленности приемной антенны является узкой в горизонтальной плоскости и учитывается только однократно рассеянное излучение, получена явная формула для решения обратной задачи. Проведен численный анализ влияния объемного рассеяния и ширины диаграммы направленности на качество реконструкции диффузно отражающей поверхности [9, 10].

Задачи определения диффузно отражающих поверхностей для стационарных моделей переноса излучения исследовались в работах [1, 11]. В частности, в [11] предложен метод восстановления ламбертовской оптической кривой по двум ее изображениям и показана его устойчивость по отношению к малым отклонениям от ламбертовости и ошибкам измерений. Методы исследования обратной задачи, используемые для стационарных и нестационарных моделей, несмотря на некоторые близкие аспекты, достаточно сильно отличаются друг от друга. В настоящей работе исследована обратная задача нестационарного уравнения переноса излучения и для определения формы ламбертовской кривой получено нелинейное дифференциальное уравнение, имеющее решение в квадратурах. На сравнительно простых тестовых примерах проведены численные эксперименты.

2. Постановка задачи

В работе рассматривается нестационарное уравнение переноса излучения следующего вида [7–9, 12–16]:

$$\left(\frac{1}{c} \frac{\partial}{\partial t} + \mathbf{k} \cdot \nabla_{\mathbf{r}} + \mu \right) I(\mathbf{r}, \mathbf{k}, t) = \frac{\sigma}{4\pi} \int_{\Omega} I(\mathbf{r}, \mathbf{k}', t) d\mathbf{k}' + J(\mathbf{r}, \mathbf{k}, t), \quad (1)$$

где $\mathbf{r} \in G \subset \mathbb{R}^3$, $t \in [0, T]$ и волновой вектор \mathbf{k} принадлежит единичной окружности $\Omega = \{\mathbf{k} \in \mathbb{R}^3 : |\mathbf{k}| = 1\}$. Функция $I(\mathbf{r}, \mathbf{k}, t)$ интерпретируется как плотность потока энергии волны в момент времени t в точке \mathbf{r} , распространяющейся в направлении \mathbf{k} со скоростью c . Величины μ и σ имеют смысл коэффициентов затухания и рассеяния, а функция J описывает источники звукового поля.

Неограниченная область G представляет собой верхнее полупространство, ограниченное горизонтальной плоскостью $\gamma = \{\mathbf{r} = (r_1, r_2, r_3) \in \mathbb{R}^3 : r_3 = -l\}$, $l > 0$. Присоединим к уравнению (1) начальные и граничные условия

$$I^-(\mathbf{r}, \mathbf{k}, t)|_{t < 0} = 0, \quad (\mathbf{r}, \mathbf{k}) \in G \times \Omega, \quad (2)$$

$$I^-(\mathbf{y}, \mathbf{k}, t) = \frac{\sigma_d(\mathbf{r})}{\pi} \int_{\Omega_+} |\mathbf{n} \cdot \mathbf{k}'| I^+(\mathbf{y}, \mathbf{k}', t) d\mathbf{k}', \quad (\mathbf{y}, \mathbf{k}, t) \in \Gamma^-. \quad (3)$$

Здесь $I^\pm(\mathbf{y}, \mathbf{k}, t) = \lim_{\varepsilon \rightarrow -0} I(\mathbf{y} \pm \varepsilon \mathbf{k}, \mathbf{k}, t \pm \varepsilon/c)$,

$$\Gamma^\pm = \{(\mathbf{y}, \mathbf{k}, t) \in \gamma \times \Omega_\pm \times (0, T)\}, \quad \Omega_\pm = \{\mathbf{k} \in \Omega : \text{sgn}(\mathbf{n} \cdot \mathbf{k}) = \pm 1\},$$

где $\mathbf{n} = (0, 0, -1)$ — единичный вектор внешней нормали к границе области G . Условие (3) означает, что отражающие свойства дна определяются только диффузным отражением по закону Ламберта с коэффициентом отражения $\sigma_d(\mathbf{r})$.

Уравнение (1) с начальным и граничным условиями (2), (3) при заданных $\mu, \sigma, \sigma_d, J, c$ образуют начально-краевую задачу для нахождения неизвестной функции I на множестве $G \times \Omega \times (0, T)$

Будем предполагать, что функция J описывает точечный импульсный источник звука, перемещающийся с постоянной скоростью V в направлении оси r_2 , следующего вида

$$J(\mathbf{r}, \mathbf{k}, t) = \delta(\mathbf{r} - \mathbf{V}t) \sum_{j=1}^m \delta(t - t_j), \quad \mathbf{V} = (0, V, 0), \quad (4)$$

где δ — дельта-функция Дирака.

Дополним систему соотношений (1)–(3) следующими условиями

$$\int_{\Omega} S_i(\mathbf{k}) I^+(\mathbf{V}t, \mathbf{k}, t) d\mathbf{k} = P_i(\mathbf{V}t, t), \quad i = 1, \dots, q, \quad (5)$$

где $S_i(\mathbf{k})$ отлична от нуля в некоторой области $\Omega_i \subset \Omega$.

Предметом исследования данной работы является следующая обратная задача: найти функцию $\sigma_d(\mathbf{r})$ из соотношений (1)–(4) при заданных $\mu, \sigma, J, c, P_i, S_i$.

Такая математическая постановка задачи возникает, например, при акустическом зондировании морского дна гидролокатором бокового обзора, движущимся прямолинейно с постоянной скоростью V , озвучивая окружающее пространство импульсными сигналами. На носителе расположены антенны, измеряющие суммарную интенсивность $P_i(\mathbf{V}t, t)$ в секторе Ω_i в момент времени t . Если $q = 2$ и множества $\Omega_1 = \{\mathbf{k} \in \Omega : k_1 < 0\}$, $\Omega_2 = \{\mathbf{k} \in \Omega : k_1 > 0\}$, то мы имеем дело с простейшим случаем гидролокатора бокового обзора — с одной приемной антенной по каждому борту ее носителя [].

3. Приближение однократного рассеяния

Решение начально-краевой задачи (1)–(3) эквивалентно решению следующего уравнения интегрального типа [8–13]:

$$\begin{aligned} I(\mathbf{r}, \mathbf{k}, t) = & I_0(\mathbf{r}, \mathbf{k}, t) + \\ & + \frac{\sigma_d(\mathbf{y})}{\pi} \exp(-\mu d(\mathbf{r}, -\mathbf{k}, t)) \int_{\Omega_+} |\mathbf{n} \cdot \mathbf{k}'| I^+ \left(\mathbf{y}, \mathbf{k}', t - \frac{d(\mathbf{r}, -\mathbf{k}, t)}{c} \right) d\mathbf{k}' + \\ & + \int_0^{d(\mathbf{r}, -\mathbf{k}, t)} \exp(-\mu\tau) \frac{\sigma}{4\pi} \int_{\Omega} I \left(\mathbf{r} - \tau\mathbf{k}, \mathbf{k}', t - \frac{\tau}{c} \right) d\mathbf{k}' d\tau \end{aligned} \quad (6)$$

где

$$I_0(\mathbf{r}, \mathbf{k}, t) = \int_0^{d(\mathbf{r}, -\mathbf{k}, t)} \exp(-\mu\tau) J \left(\mathbf{r} - \tau\mathbf{k}, \mathbf{k}, t - \frac{\tau}{c} \right) d\tau,$$

$\mathbf{y} = \mathbf{r} - d(\mathbf{r}, -\mathbf{k}, t)\mathbf{k}$, $d(\mathbf{r}, -\mathbf{k}, t) = \min\{d(\mathbf{r}, -\mathbf{k}), ct\}$, $d(\mathbf{r}, -\mathbf{k})$ — расстояние от точки $\mathbf{r} \in G$ в направлении $-\mathbf{k}$ до границы области G . Если $\mathbf{y} \notin \partial G$, то второе слагаемое в уравнении (6) отсутствует.

Возьмем в качестве нулевого приближения для решения уравнения (6) функцию I_0 и построим процесс простых итераций. На первом шаге итерационного процесса для решения начально-краевой задачи (1)–(3) получим, так называемое, приближение однократного рассеяния

$$\begin{aligned}
 I(\mathbf{r}, \mathbf{k}, t) = & I_0(\mathbf{r}, \mathbf{k}, t) + \frac{\sigma_d(\mathbf{y})}{\pi} \exp(-\mu d(\mathbf{r}, -\mathbf{k}, t)) \times \\
 & \times \int_{\Omega_+} |\mathbf{n} \cdot \mathbf{k}'| \int_0^{d(\mathbf{y}, -\mathbf{k}', t)} \exp(-\mu\tau) J\left(\mathbf{y} - \tau\mathbf{k}', \mathbf{k}', t - \frac{d(\mathbf{r}, -\mathbf{k}, t)}{c} - \frac{\tau}{c}\right) d\tau d\mathbf{k}' + \\
 & \int_0^{d(\mathbf{r}, -\mathbf{k}, t)} \exp(-\mu\tau) \frac{\sigma}{4\pi} \int_{\Omega} \int_0^{d(\mathbf{r}-\tau\mathbf{k}, -\mathbf{k}', t-\tau/c)} \exp(-\mu\tau') \times \\
 & \times J\left(\mathbf{r} - \tau\mathbf{k} - \tau'\mathbf{k}', \mathbf{k}', t - \frac{\tau + \tau'}{c}\right) d\tau' d\mathbf{k}' d\tau. \quad (7)
 \end{aligned}$$

В последнем соотношении сделаем замены переменных: $\mathbf{x} = \mathbf{y} - \tau\mathbf{k}'$ — в первом интеграле, и $\mathbf{x}' = \mathbf{r} - \tau'\mathbf{k}'$ — во втором интеграле. Так как

$$d\tau d\mathbf{k}' = \frac{d\mathbf{x}}{|\mathbf{y} - \mathbf{x}|^2}, \quad d\tau' d\mathbf{k}' = \frac{d\mathbf{x}'}{|\mathbf{r} - \mathbf{x}'|^2},$$

то из (7) получаем

$$\begin{aligned}
 I(\mathbf{r}, \mathbf{k}, t) = & I_0(\mathbf{r}, \mathbf{k}, t) + \frac{\sigma_d(\mathbf{y})}{\pi} \exp(-\mu d(\mathbf{r}, -\mathbf{k}, t)) \times \\
 & \times \int_{G(\mathbf{y})} \left| \mathbf{n}(\mathbf{y}) \cdot \frac{\mathbf{y} - \mathbf{x}}{|\mathbf{y} - \mathbf{x}|} \right| \exp(-\mu|\mathbf{x} - \mathbf{y}|) J\left(\mathbf{x}, \frac{\mathbf{y} - \mathbf{x}}{|\mathbf{y} - \mathbf{x}|}, t - \frac{d(\mathbf{r}, -\mathbf{k})}{c} - \frac{|\mathbf{y} - \mathbf{x}|}{c}\right) \frac{d\mathbf{x}}{|\mathbf{y} - \mathbf{x}|^2} \\
 & + \int_0^{d(\mathbf{r}, -\mathbf{k}, t)} \exp(-\mu\tau) \frac{\sigma}{4\pi} \int_{G(\mathbf{r}-\tau\mathbf{k})} \exp(-\mu|\mathbf{r} - \mathbf{x}'|) \times \\
 & \times J\left(\mathbf{x}' - \tau\mathbf{k}, \frac{\mathbf{r} - \mathbf{x}'}{|\mathbf{r} - \mathbf{x}'|}, t - \frac{\tau}{c} - \frac{|\mathbf{r} - \mathbf{x}'|}{c}\right) \frac{d\mathbf{x}' d\tau}{|\mathbf{r} - \mathbf{x}'|^2}, \quad (8)
 \end{aligned}$$

где $G(\mathbf{y})$ пересечение области G с шаром с центром в точке \mathbf{y} и радиусом ct .

$$\begin{aligned}
 i_2 = & \sum_{j=1}^m \delta(t - t_j) \int_0^{d(\mathbf{r}, -\mathbf{k}, t)} \exp(-\mu\tau) \frac{\sigma}{4\pi} \int_{G(\mathbf{r}-\tau\mathbf{k})} \exp(-\mu|\mathbf{r} - \mathbf{x}'|) \times \\
 & \times \delta(\mathbf{x}' - \mathbf{V}t) J\left(\mathbf{x}' - \tau\mathbf{k}, \frac{\mathbf{r} - \mathbf{x}'}{|\mathbf{r} - \mathbf{x}'|}, t - \frac{\tau}{c} - \frac{|\mathbf{r} - \mathbf{x}'|}{c}\right) \frac{d\mathbf{x}' d\tau}{|\mathbf{r} - \mathbf{x}'|^2} = \\
 & = \quad (9)
 \end{aligned}$$

4. Исследование обратной задачи

Принимая во внимание ограничение (5) для функции J и «звездность» области G относительно начала координат, перепишем соотношение (10) в точке $\mathbf{r} = \mathbf{o}$:

$$\begin{aligned} I^+(\mathbf{o}, \mathbf{k}, t) &= 2 \exp(-\mu d(\mathbf{o}, -\mathbf{k})) \int_{G(\mathbf{y})} |\mathbf{n}(\mathbf{y}) \cdot \frac{\mathbf{y} - \mathbf{x}}{|\mathbf{y} - \mathbf{x}|}| \exp(-\mu |\mathbf{y} - \mathbf{x}|) \times \\ &\quad \times \delta(\mathbf{x}) \delta\left(t - \frac{d(\mathbf{o}, -\mathbf{k})}{c} - \frac{|\mathbf{y} - \mathbf{r}'|}{c}\right) \frac{d\mathbf{r}'}{|\mathbf{y} - \mathbf{r}'|} = \\ &= \frac{2}{|\mathbf{y}|} \exp(-\mu(d(\mathbf{o}, -\mathbf{k}) + |\mathbf{y}|)) \left| \mathbf{n}(\mathbf{y}) \cdot \frac{\mathbf{y}}{|\mathbf{y}|} \right| \delta\left(t - \frac{d(\mathbf{o}, -\mathbf{k})}{c} - \frac{|\mathbf{y}|}{c}\right) = \\ &= \frac{2}{d(\mathbf{o}, -\mathbf{k})} \exp(-2\mu d(\mathbf{o}, -\mathbf{k})) |\mathbf{n}(-d(\mathbf{o}, -\mathbf{k})\mathbf{k}) \cdot \mathbf{k}| \delta\left(t - 2\frac{d(\mathbf{o}, -\mathbf{k})}{c}\right). \end{aligned} \quad (10)$$

Подставим (11) в условие (4):

$$\begin{aligned} P_{\pm}(t) &= \int_{\Omega} S_{\pm}(\mathbf{k}) I^+(\mathbf{o}, \mathbf{k}, t) d\mathbf{k} = \int_{\Omega} S_{\pm}(\mathbf{k}) \frac{2}{d(\mathbf{o}, -\mathbf{k})} \exp(-2\mu d(\mathbf{o}, -\mathbf{k})) \times \\ &\quad \times |\mathbf{n}(-d(\mathbf{o}, -\mathbf{k})\mathbf{k}) \cdot \mathbf{k}| \times \delta\left(t - 2\frac{d(\mathbf{o}, -\mathbf{k})}{c}\right) d\mathbf{k}. \end{aligned} \quad (11)$$

Пусть $\mathbf{k} = (k_1, k_2) = (-\sin\varphi, \cos\varphi)$, тогда, учитывая параметризацию кривой $\gamma(\rho(\varphi)) = d(\mathbf{o}, -\mathbf{k})$, из (12) получаем

$$\begin{aligned} P_{\pm}(t) &= \int_{\underline{\varphi}}^{\overline{\varphi}} S_{\pm}(\varphi) I^+(\mathbf{o}, \mathbf{k}(\varphi), t) d\varphi = \int_{\underline{\varphi}}^{\overline{\varphi}} S_{\pm}(\varphi) \frac{2}{\rho(\varphi)} \exp(-2\mu\rho(\varphi)) \times \\ &\quad \times |\mathbf{n}(\varphi) \cdot \mathbf{k}(\varphi)| \times \delta\left(t - 2\frac{\rho(\varphi)}{c}\right) d\varphi. \end{aligned} \quad (12)$$

Учитывая, что

$$|\mathbf{n}(\varphi) \cdot \mathbf{k}(\varphi)| = \frac{\rho(\varphi)|\rho'(\varphi)|}{\sqrt{\rho'^2(\varphi) + \rho^2(\varphi)}},$$

из (13) получаем

$$P_{\pm}(t) = 2 \int_{\underline{\varphi}}^{\overline{\varphi}} S_{\pm}(\varphi) \exp(-2\mu\rho(\varphi)) \frac{|\rho'(\varphi)|}{\sqrt{\rho'^2(\varphi) + \rho^2(\varphi)}} \delta\left(t - 2\frac{\rho(\varphi)}{c}\right) d\varphi. \quad (13)$$

Согласно предположениям пункта 2, функция $\rho(\varphi)$ монотонна и дифференцируема на интервалах $(\underline{\varphi}, \pi)$ и $(\pi, \overline{\varphi})$. Следовательно, на интервале $(\underline{\varphi}, \pi)$ она имеет обратную функцию φ_- , а на интервале $(\pi, \overline{\varphi})$ — обратную функцию φ_+ . Если диаграмма направленности $S_+(\varphi) = 1$ при $\varphi \in (\pi, \overline{\varphi})$, а $S_-(\varphi) = 1$ при $\varphi \in (\underline{\varphi}, \pi)$, то из (14) находим

$$P_{\pm}(t) = \frac{c \exp(-\mu ct)}{\sqrt{1/\varphi_{\pm}'^2(ct/2) + (ct/2)^2}}. \quad (14)$$

Возвращаясь к обозначению $\rho = ct/2$ ($t = 2\rho/c$), из (15) получаем

$$\frac{P_{\pm}^2(2\rho/c)}{c^2 \exp(-4\mu\rho) - \rho^2 P_{\pm}^2(2\rho/c)} = \varphi'_{\pm}(\rho). \quad (15)$$

Так как $\rho(\pi) = l$, то $\varphi_{\pm}(l) = \pi$, и решение дифференциального уравнения (16) можно записать в виде

$$\varphi_{\pm}(\rho) = \pi \pm \int_l^{\rho} \frac{P_{\pm}(2\tau/c) d\tau}{\sqrt{c^2 \exp(-4\mu\tau) - \tau^2 P_{\pm}^2(2\tau/c)}}. \quad (16)$$

Знаки \pm в выражении (17) выбраны в соответствии с монотонным убыванием функции $\varphi_{-}(\rho)$ на интервале (φ, π) и монотонным возрастанием функции $\varphi_{+}(\rho)$ на интервале $(\pi, \bar{\varphi})$.

5. Численные эксперименты

В заключительном разделе на ряде тестовых примеров мы проведем анализ численного решения обратной задачи (??)–(5). Как было показано в разделе 4, решение обратной задачи сводится к вычислению интегралов (17). В приложениях, например, в задачах зондирования донной поверхности, мы имеем дело с дискретным множеством измеренных значений функций $P_{\pm}(\rho/c)$, $\rho = \rho_i$, $i = 0, \dots, n$. Учитывая это замечание, из соотношений (17) получаем рекуррентные приближенные формулы для определения φ_{\pm}^i при заданных $P_{\pm}(\rho_i/c)$:

$$\begin{aligned} \varphi_{\pm}^{i+1} &= \varphi_{\pm}^i \pm \int_{\rho_i}^{\rho_{i+1}} \frac{P_{\pm}(2\tau/c) d\tau}{\sqrt{c^2 \exp(-4\mu\tau) - \tau^2 P_{\pm}^2(2\tau/c)}} \approx \\ &\approx \varphi_{\pm}^i \pm \frac{P_{\pm}(2\rho_i/c)(\rho_{i+1} - \rho_i)}{\sqrt{c^2 \exp(-4\mu\rho_i) - \rho_i^2 P_{\pm}^2(2\rho_i/c)}}, \quad i = 0, \dots, n-1, \end{aligned} \quad (17)$$

где $\varphi_{\pm}^0 = \pi$, $\rho_0 = l$ и для аппроксимации интеграла по элементарному отрезку использована формула прямоугольников. Также будем рассматривать аппроксимацию по формуле трапеций

$$\begin{aligned} \varphi_{\pm}^{i+1} &= \varphi_{\pm}^i \pm \left(\frac{P_{\pm}(2\rho_i/c)(\rho_{i+1} - \rho_i)}{\sqrt{c^2 \exp(-4\mu\rho_i) - \rho_i^2 P_{\pm}^2(2\rho_i/c)}} + \right. \\ &\quad \left. + \frac{P_{\pm}(2\rho_{i+1}/c)(\rho_{i+1} - \rho_i)}{\sqrt{c^2 \exp(-4\mu\rho_{i+1}) - \rho_{i+1}^2 P_{\pm}^2(2\rho_{i+1}/c)}} \right) / 2, \quad i = 0, \dots, n-1. \end{aligned} \quad (18)$$

При проведении вычислительных экспериментов предполагается, что расстояние между источником и донной поверхностью в направлении $\mathbf{k} = (0, -1)$ равно 30 метрам, то есть $\rho_0 = l = 30$. Скорость распространения звука полагается постоянной во

всей области зондирования $c=1500\text{м/сек}$, коэффициент затухания и донного рассеяния имеют значения $\mu=0.018\text{м}^{-1}$, $\sigma_d=1$. Облучение поверхности осуществляется с дальностью зондирования $\rho_n=300\text{м}$ с шагом дискретизации $\Delta\rho=\rho_{i+1}-\rho_i$, который варьируется на промежутке $[0.004, 0.4]\text{м}$.

В первом численном эксперименте γ представляет собой горизонтальную прямую (плоское дно) и задается в следующем виде:

$$\begin{cases} r_1 = -\rho \sin \varphi, \\ r_2 = -l. \end{cases} \quad (19)$$

Как видно из рис. 2а и рис. 2б, погрешность формул (18) не превосходит значений 47,5% и 15% при $\Delta\rho=0.4$ и $\Delta\rho=0.04$ соответственно, а вычисления по формулам (19) приводят к ошибке, не превосходящей значений 3.6% и 1% соответственно.

В следующем тесте кривая γ задается следующими параметрическим уравнениями:

$$\begin{cases} r_1 = -\rho \sin \varphi, \\ r_2 = -l^2/\rho. \end{cases} \quad (20)$$

На рис. 3 для различной частоты дискретизации представлено восстановление кривой γ , описываемой параметрическими уравнениями (21). Как и следовало ожидать, точность восстановления кривой возрастает с уменьшением шага дискретизации. Ориентируясь на приложения теоретических результатов к задачам гидролокации, отметим следующее. Разрешение по дистанции гидролокатора бокового обзора, работающего на частотах порядка 100-600кГц, составляет величины порядка 1-5см [17]. Поэтому для практики представляют интерес графики, приведенные на рис. 2б, 2с. Максимальная относительная ошибка реконструкции кривой γ по формулам (19) при $\Delta\rho=0.04\text{м}$ не превосходит 17.5%, а при $\Delta\rho=0.01\text{м}$ — не превосходит 8.7%. При повышении разрешающей способности необходимо повышать частоту зондирующего излучения. Повешение частоты излучения приводит к росту коэффициента ослабления звука и уменьшению дальности зондирования [17].

Представляет несомненный интерес исследование устойчивости решения обратной задачи при возмущении исходных данных. Предварительные исследования показали, что точность и даже сама возможность восстановления кривой γ определяется не только уровнем шума при возмущении функций P_{\pm} , но и величиной $\rho'(\varphi)$. Решение обратной задачи особенно чувствительно к ошибкам в исходных данных, если величина производной функции $\rho(\varphi)$ на части кривой стремится к нулю. В дальнейшем мы также намерены исследовать задачу нахождения диффузно отражающей кривой в рассеивающей среде ($\sigma \neq 0$). Детальный анализ таких и подобных задач будет предметом наших дальнейших публикаций.

ЭКСПЕРИМЕНТЫ

Эксперимент 1

В данном эксперименте рассматривалось изменение качества изображения в зависимости от количества приемных антенн.

Эксперимент 2

В данном эксперименте рассматривалось изменение качества изображения в зависимости от количества приемных антенн.

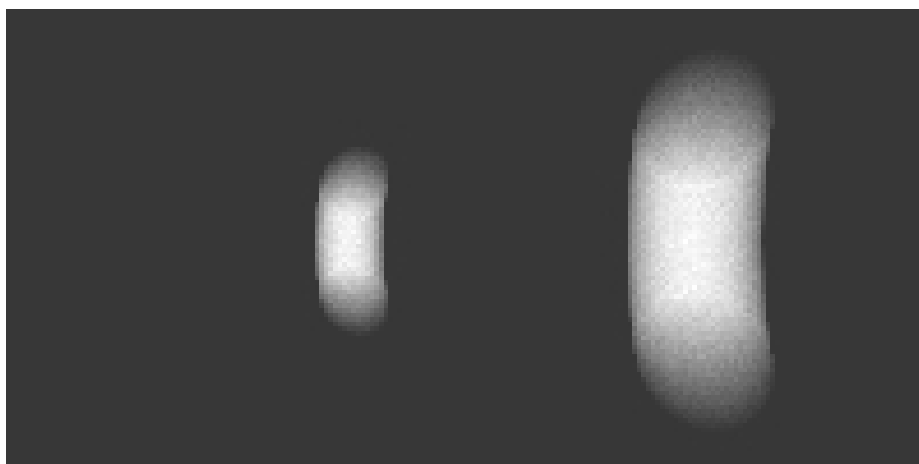


Рис. 1.

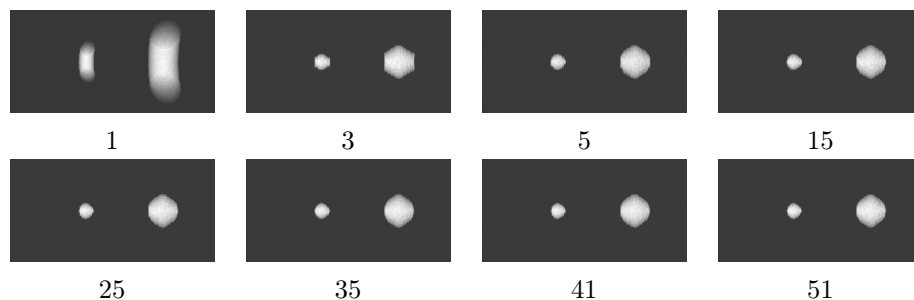


Рис. 2.

Список литературы

- [1] В. Р. Кирейтов, *Обратные задачи фотометрии*, ВЦ СО АН СССР, Новосибирск, 1983.
- [2] Р. Д. Урик, *Основы гидроакустики*, Судостроение, Л., 1978.
- [3] А. В. Богородский, Г. В. Яковлев, Е. А. Корепин, А. К. Должиков, *Гидроакустическая техника исследования и освоения океана*, Гидрометеиздат, Л., 1984.
- [4] Д. С. Аниконов, А. Е. Ковтанюк, И. В. Прохоров, *Использование уравнения переноса в томографии*, Логос, М., 2000.
- [5] Yu. E. Anikonov, *Inverse Problems for Kinetic and Other Evolution Equations*, VSP, Utrecht, 2001.
- [6] В. В. Тучин, *Оптика биологических тканей. Методы рассеяния света в медицинской диагностике*, Физматлит, М., 2013.
- [7] И. В. Прохоров, В. В. Золотарев, И. Б. Агафонов, “Задача акустического зондирования во флуктуирующем океане”, *Дальневосточный математический журнал*, **11**:1 (2011), 76–87.
- [8] И. В. Прохоров, А. А. Сущенко, “Исследование задачи акустического зондирования морского дна методами теории переноса излучения”, *Акустический журнал*, **61**:3 (2015), 400–408.
- [9] И. В. Прохоров, А. А. Сущенко, В. А. Кан, “Об одной задаче определения рельефа дна флуктуирующего океана”, *Сиб. журн. индустр. матем.*, **18**:2 (2015), 99–110.
- [10] V. A. Kan, I. V. Prokhorov, A. A. Sushchenko, “Determining the bottom surface according

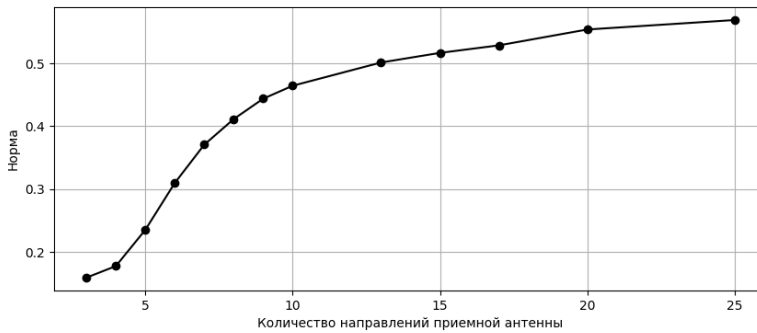


Рис. 3.

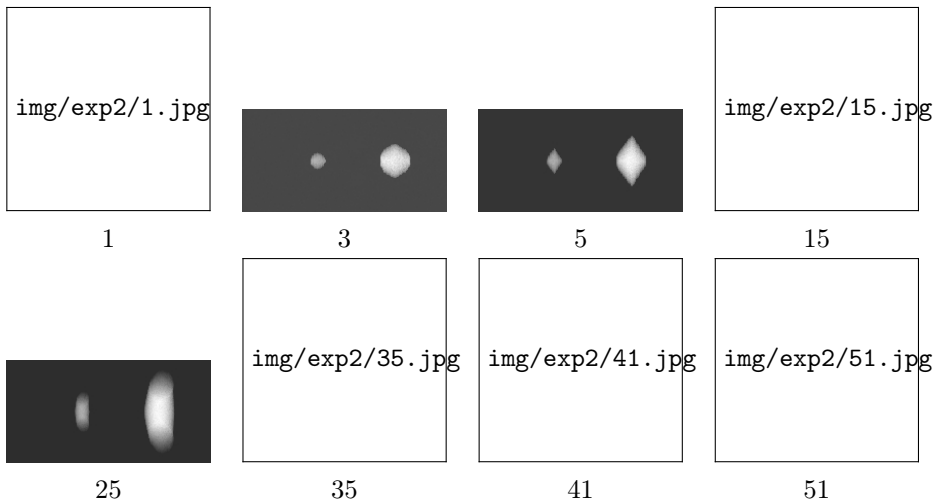


Рис. 4.

to data of side-scan sonars”, *Proceedings of SPIE - The International Society for Optical Engineering*, **10035** (2016), 1003518.

- [11] В. А. Шарафутдинов, “О восстановлении ламбертовской оптической кривой по двум ее изображениям”, *Доклады АН*, **249**:3 (1979), 565–568.
- [12] И. В. Прохоров, А. А. Сущенко, “О корректности задачи Коши для уравнения переноса излучения с френелевскими условиями сопряжения”, *Сибирский математический журнал*, **56**:4 (2015), 922–933.
- [13] И. В. Прохоров, А. А. Сущенко, А. Ким, “Начально-краевая задача для уравнения переноса излучения с диффузными условиями сопряжения”, *Сибирский журнал индустриальной математики*, **20**:1 (2017), 75–85.
- [14] И. В. Прохоров, А. А. Сущенко, “Задача Коши для уравнения переноса излучения в неограниченной среде”, *Дальневосточный математический журнал*, **18**:1 (2018), 101–111.
- [15] А. А. Amosov, “Initial-Boundary Value Problem for the Non-Stationary Radiative Transfer Equation with Fresnel Reflection and Refraction Conditions”, *Journal of Mathematical Sciences*, **231**:3 (2018), 279–337.
- [16] А. А. Amosov, “Initial-Boundary Value Problem for the Nonstationary Radiative Trans-

fer Equation with Diffuse Reflection and Refraction Conditions”, *Journal of Mathematical Sciences*, **235**:2 (2018), 117–137.

- [17] В. Лекомцев, “Гидроакустические средства визуализации для необитаемых подводных аппаратов”, *Современные технологии автоматизации*, 2013, № 3, 78–82.

Поступила в редакцию

1 ноября 2018 г.

Kan V. A., Prokhorov I. V., Determination of a diffuse reflecting surface under pulsed irradiation. *Far Eastern Mathematical Journal*. 2019. V. 19. No 1. P. 1–10.

ABSTRACT

An inverse problem of determining a diffusely reflecting surface under given functionals of the radiation flux density for a nonstationary radiation transfer equation is considered. Assuming the point pulsed source and the single scattering approximation, authors obtained the nonlinear differential equation. The solution has been obtained in a few quadratures to determine the profile of the Lambert surface. The computational experiments were carried out on test examples.

Key words: *radiation transfer equation, diffuse reflection, Lambert’s cosine law, inverse problem.*